

7.01.94.

New bounds on the size of classical designs

Vladimir Levenshtein, Institute for Applied Mathematics  
 Russian Academy of Sciences, Moscow

A system  $S$  of  $k$ -subsets of a  $v$ -set possessing the property that any  $t$ -subset of the  $v$ -set belongs to the same number of  $k$ -subsets of the system  $S$  is referred to as (classical)  $t$ -design. A problem of obtaining lower bounds on size of  $t$ -designs is considered. The following bounds for  $t$ -designs  $S$  are well known:

Steiner bound

$$|S| \geq \frac{\binom{v}{t}}{\binom{k}{t}}$$

and Wilson-Ray-Chaudhuri bound

$$|S| \geq \left(\frac{v}{k}\right)^{\gamma} \binom{v-\gamma}{t} \text{ if } t = 2h + \gamma \text{ where } \gamma \in \{0, 1\}.$$

<sup>lower</sup> <sub>the</sub>  
 New bound on size of  $t$ -designs is obtained, which for some cases is attained and better than the above mentioned bounds. The proof of the result is based on i) the Delsarte's inequalities for codes and designs in  $P$ - and  $Q$ -polynomial association schemes, ii) using a solution of code problem for system  $Q$  of orthogonal polynomials and iii) using a duality of bounding the sizes of codes and designs for finite polynomial metric spaces.

Bla.

14. 1. 1994 Eine Schar von „Ein-Steinen“, die  $\mathbb{E}^3$  pflastern, aber weder periodisch noch quasiperiodisch.

Es wird ein Biprisma  $SCD := T(m, n, j, s, h)$  vorgestellt, wobei  $m, n \in \mathbb{N}$ ,  $(m, n) = 1$ ,  $m, 2 < n$ ,  $j \in \mathbb{Z}$ ,  $s, h \in \mathbb{R}$  sind.

Es hat folgende Eigenschaften

- $SCD$  ist ein schwach konvexes Polyeder in  $\mathbb{E}^3$ .
- " erlaubt  $2^{N_0}$  seitentrieme (d.h. face-to-face) Pflasterungen des ganzen Raumes  $*$ )
- Keine dieser Pflasterungen gestattet eine Translation ( $\neq 0$ )
- genau dann, wenn  $n \equiv 1 \pmod{2}$  ist, ist die species  $S_0^+$  repetitiv.
- wird  $SCD$  mit endlich vielen „Stonen“ dekoriert, so liefert jede Pflasterung aus  $S_0^+$  eine Delone-Menge  $((r, R)-Menge)$  mit nur endlich vielen Kongruenzklassen von Voronoi-Zellen und daher auch nur endlich vielen Klassen von Koordinationspolyedern
- die Fouriertransformierte einer solchen Delone-Menge weist genau ein ein-dimensionaliges Gitter von Dirac-deltas auf.

Es entsteht die Frage, ob es entsprechende Festkörper-Phasen gibt.

L Danzer, Dortmund.

$*$ ) mit zu  $SCD$  eigentlich kongruenten Steinen  
( $\det = \pm 1$ )

21.1.94. Primzahlen und diophantische Gleichungen

Die Primzahlverteilung als auch die Theorie diophantischer Gleichungen gehören zu den klassischen Problemen der Zahlentheorie; beide Gebiete haben eine sehr lange zurückreichende Tradition (Euklid, Euclid-Eratosthenes sind noch älter). Die wichtigsten Methoden (Zetafunktion und Siebe für Primzahlen; Diophantische Approximation, Algebra, Fouriertransformationen für diophantische Gleichungen) suggieren eine gewisse Disjunktivität der beiden Ergebnisse der Zahlentheorie. Dies ist jedoch nicht der Fall; das "Birch-Gitter" ist die harmonische Analyse. An zwei Beispielen sollen gegenseitige Wechselwirkungen aufgezeigt werden. Wir beginnen:

SATZ 1. Sei  $E(N)$  die Anzahl aller  $n \in \mathbb{N}$ ,  $n \leq N$ , für die die Gleichung  $n = x_1^3 + x_2^3 + x_3^3 + x_4^3$  nicht in natürlichen Zahlen  $x_i$  lösbar ist. Dann gilt  $E(N) \ll N^{37/42+\varepsilon}$ .

Ist  $r(n)$  die Anzahl der Lösungen von  $n = x_1^3 + x_2^3 + x_3^3 + x_4^3$  mit  $x_i \in \mathbb{N}$ , dann gilt  $r(n) > \varepsilon n^{11/3}$  für alle  $n \in \mathbb{N}$  mit höchstens  $O(N^{11/12+\varepsilon})$  Ausnahmen.

Dies bestätigt für "fast alle"  $n$  eine Vermutung (Hardy-Littlewood), daß  $r(n) \gg n^{11/3}$  gelten sollten. Der Beweis benutzt Resultate aus der Primzahlverteilung.

SATZ 2 (mit E. Fouvry, Paris). Sei  $p$  stets eine Primzahl. Die Gleichung  $x_1^2 + x_2^2 + x_3^2 + x_4^2 = n$  ist lösbar in ganzen Zahlen  $x_i$  mit  $p | x_1 x_2 x_3 x_4 \Rightarrow p > n^{1/63,8\dots}$ . Insbesondere kann jedes  $x_i$  nur 34 Primfaktoren enthalten.

Dies ist eine sehr Approximation an die (wohlrichtige) Vermutung:  $n = p_1^2 + p_2^2 + p_3^2 + p_4^2$  ist für alle  $n \equiv 4 \pmod{24}$  lösbar in primen  $p_i$ . Der Beweis benutzt Fourier-Transformationen, Kloosterman-Summen und ein "Vektorriegel".

Förg Brüderlin, Göttingen

28.1.98 Ramanujan Vermutung und Siegelsche Modulformen  
vom Geschlecht 2.

Die klassische Ramanujan Vermutung gibt eine Abschätzung für die Fourierkoeffizienten der Diskrimante

$$|\Delta(z)| = e^{\frac{2\pi i z}{12}} \prod_{n=1}^{\infty} (1 - e^{2\pi i nz})^{24}$$

Allgemeiner gibt es Modulformen verallgemeinerten dieser Vermutung.

In der Sprache der automorphen Formen vermutete Satake (1965), daß jede cuspidale, irreducible automorphe Darstellung  $\pi = \bigoplus_{\mathfrak{f}} \pi_{\mathfrak{f}}$  einer reduziblen Gruppe  $G$  eine temperierte Darstellung ist. Dagegen konnte mit Hilfe der von ihm benutzten Weilvermutung dies für den Fall der klassischen holomorphen elliptischen Modulformen zeigen, d.h. im Fall  $G = \mathrm{SL}(2, \mathbb{Q})$  und falls  $\pi_{\mathfrak{f}}$  hat diskrete Spezialscharaktere von  $\mathrm{GL}(2, \mathbb{R})$  ist. Das erste Gegenbeispiel für die von Satake vermutete "allgemeine" Ramanujanvermutung fand Kurokawa im Jahr 1977. Das Analogon der Diskrimante für Siegelsche Modulformen vom Geschlecht ist eine Spurform vom Gewicht 10 auf dem Siegelschen Halbraum  $H_2$ , zu geschlecht 2. Dies ist das erste Gegenbeispiel von Kurokawa. Die Gegenbeispiele von Kurokawa (am Computer gefunden) wurden darauf von Maass studiert (Maass Spezialcharakter) und später von anderen Mathematikern auf den nichtholomorphen Fall übertragen. Man erhält auf diese Weise Serien von Gegenbeispielen gegen die verallgemeinerte Ramanujanvermutung, die sogenannten CAP-automorphen Darstellungen in Sinne von Piatetskii-Shapiro. Für die Gruppe  $G = \mathrm{GSp}(4, \mathbb{Q})$  wurden alle CAP-Darstellungen  $\pi$  von Piatetskii-Shapiro (1983) und Soundy (1984) vollständig klassifiziert. Sie korrespondieren zu sogenannten Theta lifts von den Gruppen  $\mathrm{Sp}(2)$  und  $\mathrm{O}(2)$  (mit  $\mathrm{GSp}(4, \mathbb{Q})$ ). Es zeigt sich dabei, daß alle CAP-Darstellungen Gegenbeispiele gegen die verallgemeinerte Ramanujan vermutung sind. Man sollte daher allgemein vermuten, daß genau die CAP-Darstellungen die Gegenbeispiele sind,

und dies nicht nur für die bislängst studierte Gruppe  $\mathrm{Sp}(4, \mathbb{Z})$  sondern ganz allgemein. Bewiesen wird der folgende Satz:

Satz: Sei  $\Gamma \subseteq \mathrm{Sp}(4, \mathbb{Z})$  eine Untergruppe von endlichem Index in der Siegel-Modulgruppe  $\mathrm{Sp}(4, \mathbb{Z})$ . Sei  $k \geq 3$  und  $f$  eine Spaltenform zu  $\Gamma$  vom Gewicht  $k$ , d.h.

$$f: \mathbb{H}_2 \longrightarrow \mathbb{C} \text{ holomorp, stet abhängig in den Spalten}$$

$$f((A\tau + B)(C\tau + D)) = \det(C\tau + D)^k f(\tau)$$

Ist  $f$  eine Eigenform der Heckeoperatoren, dann sind äquivalent: für die "zyklotische" Darstellung  $\pi$  (reell irreduzibel)

(i)  $\pi$  ist nicht CAP

(ii) Die verallgemeinerte Ramanujan-Vermutung gilt für  $\pi$ .

Zusatz: Der Satz gilt auch für Gewicht  $k=1$  (zumindest ist er bis hier bewiesen für alle Gruppen von Typ  $\Gamma = \Gamma_0(N)$ ). Allerdings ist für dieses Gewicht jede Spaltenform von  $\Gamma$  CAP. Ramanujan's Vermutung gilt somit nicht für das Gewicht  $k=1$ .

Bemerkung: Der Fall  $k=2$  ist offen.

1. Bemerkung: Der Fall  $k=1$  (erläutert wie im Zusatz) ist das Analogon der Serre-Stark Modulformen für klassische Modulformen (von Gewicht  $g=1$ ) vom Gewicht  $\frac{1}{2}$ .

Rainer Weissauer, Mainz

4.7.94 "Über Optimierungspotentiale in der industriellen Praxis;  
über Mathematik, Manager und andere Menschen"  
Günter Dueck, IBAW Wiss. Forum Heidelberg

Wie mathematische Lösungen, die in der Optimierung  
oder im Gebiet der Statistik/Prognose, zu praktischen  
Praxisanwendungen werden; wie sie in der Praxis  
durchgesetzt und dann eingesetzt werden, gegen soviel  
Widerstand von Managern und Anwendern; wie  
Marketing für Wissenschaft gemacht wird und wie schließ-  
lich ein Geschäftsfeld daraus wird — das ist ein  
weiteres Feld. Der Vortrag berichtet von Aufbau  
einer Optimierer/Statistikergruppe in der Industrie:  
Wissenschaft im Zentrum eines kleinen Unternehmens,  
der wieder Teil einer großen Firma ist (IBA).  
Wissenschaftliche Exzellenz genügt allein im Markt  
überhaupt nicht. Der Einsatz von Wissenschaft  
führt zu Veränderungen des Arbeitsmarktes und auf  
gegen erheblichen Widerstand durchgesetzt werden.  
Es genügt dieses auch überhaupt nicht, einfach  
um ein sehr gutes Wissenschaftsleben zu sein. Am  
Ende zählt nicht eine gute Lösung, sondern es  
zählt, ob die Lösung angewandt wird.

Beispiele aus der Industriepraxis werden gegeben:  
Optimierung von Tabakmischungen, Walzrouten, Flugplänen,  
Fahrtleinen, Chip-Placements. Was Mathematik in  
Lösungswegen leistet — und warum die Durch-  
setzung dann die Hauptlast ist.

Aus der Arbeit des Mathematikers: als Wissenschaftler,  
als Programmierer, als Berater, als "Politiker", als  
Verkäufer. Welche Methoden der Mathematik sind  
praktikabel — welche nicht? Welche verwendet IBA?  
Um wieviel besser sind Lösungen mit Mathematik?

Günter Dueck

4.2.34

Die topologische Spurformel für Hecke-Operatoren und die Berechnung der Zetafunktion zu  $GSp_2$

Ausgehend von der symplektischen Gruppe  $GSp_n$  kann man Shimura-Varietäten definieren. Das sind komplexe Mannigfaltigkeiten

$$G(\mathbb{Q}) \backslash X \times G(\mathbb{A}_f) / K_f = G(\mathbb{Q}) \backslash (G(\mathbb{R}) / K_\infty) \times G(\mathbb{A}_f) / K_f$$

Man kann zeigen, daß diese Mannigfaltigkeiten quasiprojektiv sind und daß es ein kanonisches Modell über  $\mathbb{Q}$  geben. Wir schreiben dafür  $S = S_K^G / \mathbb{Q}$  und es ist  $S(\mathbb{C})$  gleich dem obigen Quotienten.

Auf der Cohomologie  $H_{\text{ét}}^*(S \times_{\mathbb{Q}} \bar{\mathbb{Q}}, \mathbb{Q}_\ell)$  operiert die Hecke-Algebren

$$\mathcal{H} = \bigoplus \mathcal{H}_p (G(\mathbb{Q}_p) // K_p)$$

und die Galoisgruppe  $\text{Gal}(\bar{\mathbb{Q}}/\mathbb{Q})$ . Diese beiden Operationen kommutieren. Man bekommt also auf isotypischen Komponenten  $H_{\text{ét}}^*(\mathbb{P}_F)$  eine Operation der Galoisgruppe, also den  $\mathcal{H} \times \text{Gal}(\bar{\mathbb{Q}}/\mathbb{Q})$ -Modul

$$\mathbb{P}_F \otimes W(\mathbb{P}_F),$$

wobei  $g_{\mathbb{P}_F} : \text{Gal}(\bar{\mathbb{Q}}/\mathbb{Q}) \rightarrow \text{GL}(W(\mathbb{P}_F))$ . Es ist ein großes Problem, diese Galoisoperation zu verstehen.

In dem Vortrag wird erläutert, wie man mit Hilfe der topologischen Spurformel eine Strategie entwickeln kann, das Problem anzugehen

S. Hart

# Searching needles in a haystack

(or searching for proteins from sub-picomole samples).

Freitag, 11. Februar 1994

17.30 Uhr

V2-205

GASTON H. GONNET (ETH ZÜRICH)

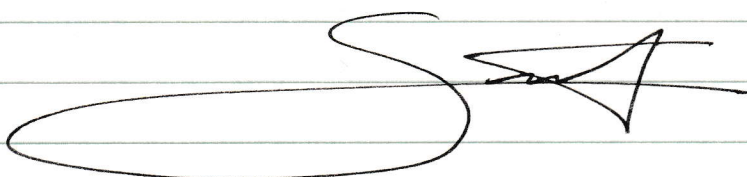
## Searching needles in a haystack (or searching for proteins from sub-picomole samples)

Mass spectrometers are devices which can accurately measure the molecular weight of proteins from very small samples. Proteins are chemically bonded sequences of amino acids which are fundamental to any form of life. Given that we know the weight of each amino acid and we can estimate the weight of the entire protein, is it possible to determine the amino acid composition from the weight? The answer is "no" for all practical purposes. (If the weights of the protein were known exactly, this would be an instance of the knapsack problem, known to be NP complete).

However, when a protein is broken into fragments according to a pattern, the molecular weight of its fragments are enough to determine whether the protein is recorded in a protein-database or not, *i. e.* find the protein in the database. This searching algorithm is based on a probabilistic model. It is an example from a larger (novel?) class of searching algorithms.

We will describe two of the applications (in medicine and in molecular biochemistry) which make this problem extremely interesting.

Recently we adapted the algorithm to search over DNA/RNA databases. Both, the peptide search and the DNA/RNA search are offered through our automatic e-mail server in Zurich.

A handwritten signature in black ink, appearing to read "Gaston H. Gonnet". To the left of the signature is a large, roughly circular oval shape.

15. April 1994

## Zum inversen Sturmproblem für zwei- und N-Körper Schrödingeroperatoren Volker Enß, Aachen

Wir betrachten die Zeitevolution  $e^{-iHt}$ , die von einem selbstadjungierten Operator  $H$  erzeugt wird, auf dem kontinuierlichen spektralen Teilraum  $\mathcal{H}^{\text{cont}}(H) \subset \mathcal{H} \cong L^2(\mathbb{R}^n)$ . Dabei ist  $H = H_0 + V$  eine Störung des Laplaceoperators  $H_0 = -\frac{1}{2m}\Delta$ , der die freie Bewegung beschreibt, durch ein Potential  $V = V(x)$ , das für  $|x| \rightarrow \infty$  geeignet abfällt, z.B.  $V = V^s + V^e$ ,  $V^s \in \mathcal{V}_{SR} = \{V \in C(\mathbb{R}^n) \mid |V(x)| \leq \frac{C}{(1+|x|)^{1+\varepsilon}}, \varepsilon > 0\}$  für den kurzreichweiten Teil und  $V^e \in C^1(\mathbb{R}^n), |(\nabla V^e)x| \leq \frac{C}{(1+|x|)^{1+\mu}}, \mu > \frac{3}{2}$ .

Im kurzreichweiten Fall ( $V^e = 0$ ) existieren die Wellenoperatoren  $\Omega_{\pm} = s\text{-}\lim_{t \rightarrow \pm\infty} e^{iHt} e^{-iH_0 t}$  und sind "vollständig":  $\text{Ran}(\Omega_{\pm}) = \mathcal{H}^{\text{cont}}(H)$

der Sturmoperator  $S := (\Omega_+)^* \Omega_-$  ist unitär. Ein Teil des direkten Problems ist die Bestimmung z.B. von  $S$  aus dem Potential  $V = V^s$ ,  $S : \mathcal{V}_{SR} \rightarrow L(\mathfrak{X})$ . Beim inversen Problem ist aus  $S$  (oder anderen Daten) das Potential  $V$  zu bestimmen. Für Raumdimensionen  $n \geq 2$  gilt

Eindeutigkeit:  $S : \mathcal{V}_{SR} \rightarrow L(\mathfrak{X})$  ist injektiv, sowie eine Rekonstruktionsformel zur Bestimmung von  $V$ .

Wir skizzieren den neuen "geometrischen" Beweis (mit R. Weder, Mexico City).

Im langreichweiten Fall muß <sup>ein</sup> langreichweiter Anteil  $V^e$  als bekannt vorausgesetzt werden, um überhaupt einen Dollard-Sturmoperator  $S^D$  definieren zu können. Da gilt auch hier analog  $S^D(\cdot + V^e) : \mathcal{V}_{SR} \rightarrow L(\mathfrak{X})$  ist injektiv und eine Rekonstruktionsformel kann angegeben werden. Die Methoden und Resultate lassen sich auf N-Körper-Systeme übertragen.

Volker Enß.

22.04.94

# On Vassiliev knot invariants

S.Lando, Independent University of Moscow

Vassiliev's theory of knot invariants is a special case of his general approach to investigating topology of complements to discriminants.

In the case of knots each knot invariant may be extended to (some strata of) the discriminant - to knots with singularities according to the defining rule:

$$f(\text{X}) = f(\text{X}^1) - f(\text{X}^1)$$

The invariant is of order no greater than n, if its n-th extension totally vanishes.  
All previously known "polynomial" invariants may be expressed in terms

A chord diagram is a circle with a number of chords having different ends:



It has been shown (Kontsevich), that investigation of Vassiliev invariants with values in a field k of characteristic zero is equivalent to investigation of function on chord diagrams, satisfying "4-term relation":

$$f(\text{X}^1) - f(\text{X}^2) = f(\text{X}^3) - f(\text{X}^4)$$

The module of Vassiliev invariants carries a natural structure of (commutative and cocommutative) bialgebra. "Module of chord diagrams" carries therefore a structure of dual bialgebra. Thus description of this bialgebra is equivalent to description of all Vass. invariants.

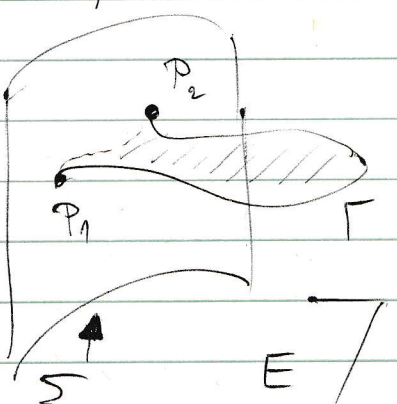
Chez

29. 4. 94 Über Minimalflächen mit freiem Rand

S. Hildebrandt (Bonn)

Es werden Minimalflächen  $\bar{x} : \bar{B} \rightarrow \mathbb{R}^3$ ,  $\bar{B}$  = Parameterbereich in  $\mathbb{R}^2$ , z.B.  $\bar{B} = \{(u,v) : u^2 + v^2 < 1, v > 0\}$  betrachtet, die in einer Randkonfiguration  $\langle \Gamma, S \rangle$  stationär sind, die aus einer Stützfläche  $S$  und einem Jordanbogen  $\Gamma$  besteht, der  $S$  nur in seinen beiden Endpunkten  $P_1$  und  $P_2$  trifft. Es werden verschiedene Eindeutigkeitssätze dargelegt, die der Verfasser zusammen mit J. C. C. Nitsche (1982) und in der letzten Zeit (seit 1991) mit F. Sauvigny erzielt hat. Hierbei ist  $S$  eine Zylinderfläche vom Typ  $\Sigma_0 \times \mathbb{R}$  mit einer ebenen Kurve  $\Sigma_0$  als Direktrix. Insbesondere wird der Beweisversatz für einen Eindeutigkeitssatz dargelegt, der frei stabile stationäre Flächen im  $\langle \Gamma, S \rangle$  betrifft,

insbesondere also Minimierer des Flächeninhalts. Die Bedingung der freien Stabilität bedeutet, dass die "freie Variation"  $\delta^2 A(\bar{x}, \lambda)$  von  $\bar{x}$  nicht negativ ist, wobei  $\delta^2 A$  sich von  $\delta^2 A$ , der gewöhnlichen 2-ten Variation, um ein Randintegral unterscheidet, das sich zwangslässig aus der freien Randbedingung ergibt.



Die Bedingung der freien Stabilität bedeutet, dass die "freie Variation"  $\delta^2 A(\bar{x}, \lambda)$  von  $\bar{x}$  nicht negativ ist, wobei  $\delta^2 A$  sich von  $\delta^2 A$ , der gewöhnlichen 2-ten Variation, um ein Randintegral unterscheidet, das sich zwangslässig aus der freien Randbedingung ergibt. Es gelingt zu zeigen, dass die Projektion der Gaußabbildung  $N$  von  $\bar{x}$  auf das orthogonale Komplement der Ebene  $E$  in der  $\Sigma_0$  liegt, ein festes Vorzeichen hat. Dann kann  $\bar{x}$  als Graph über  $E$  dargestellt werden, woraus sich der besagte Eindeutigkeitssatz ergibt. Es kann bewiesen werden, dass einen neuen Existenzsatz für das "halbfreie" Randwertproblem der Minimalflächentheorie aufgestellt. Dieses Resultat ist ein wesentliches Hilfsmittel, um das Verhalten einer Lösung  $\bar{x}$  des Randwertproblems zu  $\langle \Gamma, S \rangle$  zu beschreiben, wenn  $S$  der Rand eines Teils ist.

S. Hildebrandt

6.05.1994 Recent advances in localization

Huishu Li (Xi'an)

Let  $R$  be a filtered ring with filtration  $F_i R$ . Write  $\widetilde{R} = \bigoplus F_i R$  as the Rees ring of  $R$ ,  $G(R) = \bigoplus \frac{F_i R}{F_{i+1} R}$  as the associated graded ring and  $X$  as the central regular homogeneous of degree 1 represented by  $1$  in  $\widetilde{R}_1$ . Suppose that  $\widetilde{R}$  is left Noetherian then on  $R$  we can do the following

(1) Lifting of Ore sets. For any Ore set  $T$  of  $G(R)$  consisting of homogeneous elements we prove that the saturated set  $\widetilde{S} = \{ \widetilde{s} \in \widetilde{R}, \widetilde{s} \text{ homogeneous}; \pi_2(\widetilde{s}) \in T \}$ , where  $\pi_2: \widetilde{R} \rightarrow \widetilde{R}/X\widetilde{R} \cong G(R)$  is the natural homomorphism, is an Ore set in  $\widetilde{R}$  and the saturated set  $S = \{ s \in R, \sigma(s) \in T \}$ , where  $\sigma: R \rightarrow G(R)$  is the  $\sigma$ -function defined by  $\sigma(a) = a + F_i R \in G(R)_i$  if  $a \in F_i R - F_{i+1} R$  and  $\sigma(a) = 0$  if  $a \in F_{i+1} R$ , is an Ore set of  $R$ . Since  $\pi_1(S) = S$ , where  $\pi_1: \widetilde{R} \rightarrow \widetilde{R}/(1-X)\widetilde{R} \cong R$  is the natural homomorphism,  $\pi_2(\widetilde{S}) = T$ , we also obtain  $\widetilde{S}^{-1}\widetilde{R} \cong S^{-1}R$  and  $G(S^{-1}R) \cong T^{-1}G(R)$ .

(2) Applications of the lifting localizations on  $R$ .

(a) Since  $X$  is again central regular of degree 1 in  $\widetilde{S}^{-1}\widetilde{R}$  we prove that  $X \in J^*(\widetilde{S}^{-1}\widetilde{R})$ , the graded Jacobson radical of  $\widetilde{S}^{-1}\widetilde{R}$ , consequently  $S^{-1}R$  is a left Zariskian filtered ring. It follows that we can lift all good properties of  $T^{-1}G(R)$  ~~to  $\widetilde{R}$~~ , such as the Artinian Property, Homological regularity, Auslander-Gorenstein property, ... etc, to  $S^{-1}R$ . For example, if  $R$  and  $G(R)$  are regular we have an injective map  $K_0(S^{-1}R) \hookrightarrow K_0(T^{-1}G(R))$ .

Moreover, we can obtain

- (b) a local characterization of modules with regular singularities;
- (c) a local description of dimension theory
- (d) the lifting of structure sheaves on  $R$ .

Li Huishu

# Beppo Levi : Aspekte zu Leben und Werk. 13.5.94

Entlang der Biographie von Beppo Levi (1875–1951) werden insbesondere diskutiert seine

- Arbeiten zur algebraischen Geometrie (Singularitäten algebraischer Flächen),
- Beiträge zum Lebesgue-Integral (Satz von B. L....),
- Vorwegnahme (aus den Jahren 1906 – 09) der "Vermutung von Ogg" (aus den 1960'er Jahren) über die rationale Torsion auf elliptischen Kurven.

Bemerkungen zum weiteren Verlauf des Lebens: 1. Weltkrieg, Bologna, Entlassung aus rassischem Gründen 1938, Emigration nach Rosario, Argentinien, schließen den Vertrag ab.

Für ein Einsehen auf B.L.s Arbeiten zur Mengenlehre und Grundlagenfragen fehlt die Zeit --.

N. SCHAPPACHER  
(Strasbourg).

27.5.94

## Lokale metabelsche Klassenkörpertheorie

Die Langlands-Vermutungen, die im lokalen Fall zum FLC bewiesen sind, stellen zweifellos eine hamiltonische Verallgemeinerung der Klassenkörpertheorie dar. Sie liefern aber nicht das, was man von der Klassenkörpertheorie erwartet: Die Beschreibung der normalen Erweiterungen des Grundkörpers mit Hilfe von Gegenheiten des Grundkörpers. In Vertretung wird für metabelsche Erweiterungen eine Theorie vor gestellt, die dieses leistet. Dabei spielt die Begriff der Zahn-Teile-Erweiterungen der Hauptrolle. Wichtige Beweismethoden sind Coleman's Potenzreihen. Die vor gestellte Ergebnisse werden gemeinsam mit E. de Shalit erzielt.

H. Koch

# Irrationality of the Moduli spaces of polarized Abelian Surfaces

The moduli space of abelian surfaces with non-principal polarization of type  $(1,t)$  is a three dimensional quasi-projective variety. Using some methods from the theory of automorphic forms with respect to arithmetical groups we construct holomorphic sections of the canonical line bundle on a smooth compact model of the moduli threefold. The following theorems are represented:

Theorem 1. Let  $\tilde{A}_t$  be a smooth model of the moduli space of abelian surfaces with polarization  $(1,t)$ .

The geometrical genus

$$g \quad p_g(\tilde{A}_t) = h^{3,0}(\tilde{A}_t) > 0$$

for  $t \geq 13$  and  $(t \neq 14, 15, 16, 18, 20, 24, 30, 36)$ .

Theorem 2 The variety  $\tilde{A}_{p^2}$  is of general type if  $p \geq 11$ .

Theorem 3 Let  $\Gamma$  be a neat subgroup of the modular group  $\Gamma_t \subset \text{Sp}_n(\mathbb{Q})$ . The variety  $\tilde{A}_t$  is of general type if there exists at least one non-trivial Jacobi cusp form of weight 2 and index  $t$ .

V. Gritsenko  
(St. Petersburg, POMI)

10.6.1994.

## Enumeration of rational curves and differential equations

Let  $X$  be a compact symplectic or algebraic mod.

One can define Gromov-Witten invariants

$$I_{g,n;\beta}(X) : H^*(X)^{\otimes n} \rightarrow H^*(\overline{M}_{g,n}; \mathbb{Q}) \quad \begin{matrix} g, n \geq 0 \\ 2g - n < 0 \end{matrix}$$

where  $\overline{M}_{g,n}$  is the moduli space  
of stable genus  $g$  curves with  $n$  punctures.

GW invariants encode information about numbers  
of curves in  $X$  satisfying various incidence conditions.

We expect that  $I_{g,n;\beta}(X)$  obeys a system of axioms  
one of which describes restriction of  $I$  on

$$\text{boundary divisors } \overline{M}_{g_1, n_1} \times \overline{M}_{g_2, n_2} \subset \overline{M}_{g, n} \quad \begin{matrix} g = g_1 + g_2 \\ n = n_1 + n_2 \end{matrix}$$

For  $g=0$  all this can be encoded  
in a function ("prepotential")  $\Phi$  defined  
on an open domain in  $H^*(X; \mathbb{C}) = \bigoplus H^k(X, \mathbb{C})$   
considered as a vector space. Third derivative of  $\Phi$   
at each point gives a structure of commutative  
associative algebra on  $H^*(X, \mathbb{C})$  (quantum cohomology ring).

We describe 3 concrete examples:

1) # of rational curves on  $\mathbb{P}^2$  of degree  $d \geq 1$   
passing through generic  $3d-1$  pts.

The generating function satisfies a Painlevé VI equation

2) (Mirror symmetry) # of rational curves on quintic  
3-fold. The generating function is related in a complicated  
way with certain hypergeometric series (conjecturally).

We give an algebro-geometric definition of #s.

3) (after R. Dijkgraaf) partitioned coverings of a 2-dim. torus  
of a fixed genus  $\geq 2$ . The generating function is a  
polynomial in  $E_2, E_4, E_6$  (Eisenstein series) of deg =  $6g-6$

M. Kontsevich (Bonn, MP $\bar{I}$ )

13. 6. 1994

## Linear representations of hyperbolic lattices

Let  $\mathcal{T}(\Gamma, m)$  be the variety of conjugacy classes of discrete faithful representations of a hyperbolic lattice  $\Gamma \subset O(3, 1)$  (e.g.,  $\Gamma = \pi_1 M$  for a hyperbolic 3-manifold  $M$  of finite volume) in linear group  $O(m, 1)$ ,  $m \geq 3$ . Such varieties have close relation to Teichmüller spaces of geometric structures.

We discuss problems of connectedness of these varieties, smooth paths (deformations and infinitesimal deformations,  $H^1(\Gamma, O(m, 1))$ ) and a link with Platonov's conjecture on arithmeticity of super-rigid groups.

For the latter problem, we point out that a Coxeter group (one of Lannér's uniform lattice in the hyperbolic 3-space) is "hyperbolically super-rigid" despite its non-arithmeticity.

Also, in contrast to classical Teichmüller spaces of Riemann surfaces, we point out non-connectedness of varieties  $\mathcal{T}(\Gamma, m)$ ,  $m = 4$  and  $m = 5$ .

For  $n = 4$ , this effect is related to our construction (based on so called "block-building") of  $\Gamma$ -equivariant and everywhere wild embeddings of closed 3-ball into the 3-sphere  $S^3$ .

For  $n = 5$ , it is based on our construction of "twisted"  $\Gamma$ -representations which have a topological background in properties of wild 2-dimensional knots in the 4-sphere  $S^4$ , which are  $\Gamma$ -equivariant embeddings  $S^2 \hookrightarrow S^4$ .

Boris Apoorov

(Norman/OK, USA)

24/6/1994

## Twin Trees : Geometry & Applications

In this talk we considered the relationship of twin trees to the theory of buildings and to Kac-Moody groups.

A twin tree is as a pair of trees together with a codistance function obeying certain simple properties. They arise from Kac-Moody groups, and also arise from other more general types of groups. The two trees concerned are isomorphic and can be connected together at a certain subset of their ends. This gives twin trees the circuits and these circuits restrict the structure of the automorphism group. For example there is a twin tree whose automorphism group is  $\mathbb{PGL}_2(k[t, t^{-1}])$ .

It seems that the examples of twin trees are more numerous than was originally thought, and the geometry as is not yet well enough understood to distinguish the various examples. There is scope for further work. A recent paper "Twin Trees I" appeared in Inventiones by Ronan and Tits, and three more papers are planned, all with the same joint authorship.

Mark Ronan (U of Illinois, Chicago)

1.7. 34

## Cohen- und andere Typen von Forcing

Für jede Kardinalzahl  $\kappa \geq \aleph_0$  bezeichnen wir mit  $\mathbb{C}_\kappa$  ("Standard-Cohen-Algebra für  $\kappa$ ") die Verallgemeinerung der von Cohen zur Widerlegung der Kontinuumshypothese benutzten partiellen Ordnung

$$Fn(\kappa, 2) = \{ p \mid p: \kappa \xrightarrow{\text{def}} 2 = \{\emptyset, 1\}, \text{dom } p \text{ endlich} \}.$$

Sie lässt sich auch auf andere Weise beschreiben, z.B.

$\mathbb{C}_\kappa \equiv$  Verallgemeinerung der freien Boolean-Algebra über  $\kappa$  Erzeugenden

$\cong$  Booleanalgebra über dem Produktraum  $2^\kappa$ , nachdem Ideal der mengenmässigen Mengen definiert.

Ich spreche über ein Resultat von S. Shelah und mes:

Satz Für  $\kappa \geq \aleph_2$  gibt es eine vollständige Subalgebra von  $\mathbb{C}_\kappa$ , die nicht (Produkt von) Standard-Cohen-Algebra(en) ist.

Vorher war bekannt, daß für  $\kappa \leq \aleph_2$  keine solche Subalgebra existiert.

Der Beweis läßt sich elementar führen, ist aber i.w. nur durch den Hintergrund der von Cohen in die Mengenlehre eingeführten Forcing-Methode zu verstehen.

Sabine Koppelaars, Freie Universität Berlin

1.7.94

Ein neuer Beweis des Schleifensatzes und seine  
Folgen.

Der Schleifensatz gehört zu den klassischen  
Sätzen in der Theorie der 3-Mannigfaltigkeiten.

Er besagt daß  $\Phi$  eine wesentliche Abb. einer  
L-Kurve in eine 3-Mf. immer auch die Existenz  
einer solchen Einbettung impliziert. Als Korollar  
wählt man  $\Phi$  ein Knoten trivial ist, wenn  
die Fundamentalgruppe seines Aufgurraumes  
freizyklisch ist. Der Schleifensatz (oder  
"Dehn'scher Satz") wurde erstmals von Dehn 1910  
formuliert, aber erst 1957 von Papakyriakopoulos  
mit Hilfe seiner Turmkonstruktion bewiesen. In  
diesem Vortrag zeige ich einen neuen Beweis ohne  
Turmkonstruktion in dem das Problem der Selbstinjektion  
partiteten nicht mehr auftritt.

Valerie Johannsen  
Knoxville, TN, USA

# Anomalies in the Lattice Point Problem and Related Topics

M. M. SKRIGANOV (Steklov Inst. of Math., St. Petersburg Branch,  
Russia)

The classical Lattice point problem deals with asymptotic behavior of the number  $n(t\Omega, \Gamma) = \text{card}(\Omega \cap \Gamma)$  of points  $\gamma \in \Gamma$  lying in the dilatation  $t\Omega$  of a given region  $\Omega \subset \mathbb{R}^d$ :

$$n(t\Omega, \Gamma) = \frac{\text{vol } \Omega}{\det \Gamma} t^d + o(t\Omega, \Gamma), \quad t \rightarrow \infty.$$

It was shown by the author that the error  $o(t\Omega, \Gamma)$  can be logarithmically small:

$$o(t\Omega, \Gamma) \ll \log^{d-1} t, \quad t \rightarrow \infty$$

for certain regions  $\Omega$  and lattices in  $\mathbb{R}^d$ .  
The discussion of such anomaly in the lattice point problem will be given in the talk.  
This effect has applications in the following fields:

- (1) the theory of uniform distributions and the multidimensional quadrature formulas
- (2) spectral theory of pseudo-differential operators on compact manifolds
- (3) Algebraic Number Fields (Lang's asymptotics).  
I hope to mention these applications also.  
(in the talk)

14 October 1994

M Skriganov

PERMUTATIONSPOLYNOME ÜBER ENDLICHEN KÖRPERN  
JOACHIM VON ZUR GATHEN, PADERBORN

Ein Polynom  $f \in \mathbb{F}_q[x]$  über einem endlichen Körper  $\mathbb{F}_q$  (mit  $q$  Elementen) heißt Permutationspolynom, na ja, wenn die zugehörige Abbildung  $\mathbb{F}_q \rightarrow \mathbb{F}_q$  eine Permutation ist.

Für die Anwendungen in der Kryptographie ist der Fall interessant, wo  $q$  (exponentiell) groß und  $n = \deg f$  klein ist.

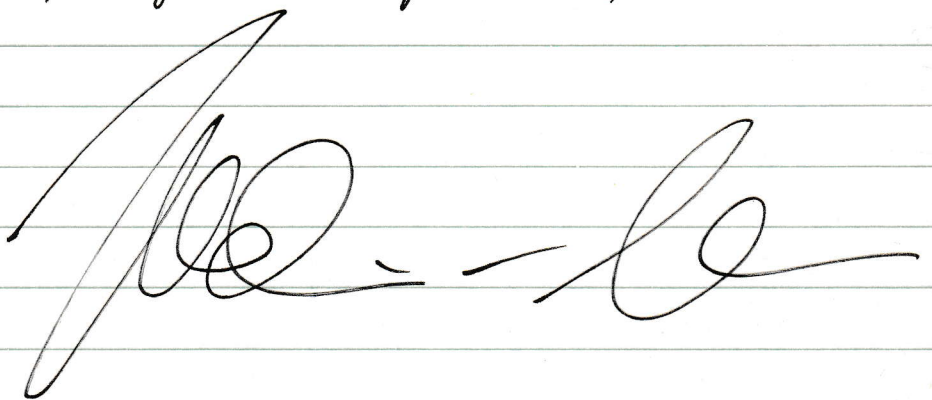
Für das Problem, ein beliebiges Polynom auf diese Eigenschaft zu testen, wird ein (probabilistischer) Algorithmus mit (fast) linearer Laufzeit vorgestellt; vorher gab es nur Methoden mit exponentieller Zeit.

Varianten dieses Algorithmus funktionieren auch für rationale Permutationsfunktionen.

Anschließend wird noch berichtet, wie man die Anzahl Punkte auf einer Kurve oder der Projektion einer Kurve abschätzen kann.

Die Fragestellungen und Methoden verknüpfen auf habsche Art verschiedene Gebiete: Algebra, Kombinatorik, theoretische Informatik, algebraische Geometrie, Zahlentheorie

21.10.1994



# Unimodulare Gitter und die Weil-Darstellung von $\mathrm{Sp}(2n, q)$

Boris Venkov (Steklov Math. Inst., St. Petersburg, Russland)

Im Vortrag wird ein neues unimodulare 28-dim. Gitter konstruiert, welches „das Beste“ in dieser Dimension zu sein scheint. Das Gitter wurde zunächst mit Hilfe von Computern gefunden, aber dann stellte sich heraus, dass das Gitter eine enge Beziehung zur Weil-Darstellung von  $\mathrm{Sp}(6, 3)$  hat. Das ergibt ein gutes ganzzahliges Modell für die Weil-Darstellung dieser Gruppe. Es werden auch mögliche Verallgemeinerungen diskutiert.

28. 10. 94

Boris Venkov

4. 11. 94. Lazard's conjecture and localization in  
non-commutative rings

V. Gerasimov, Novosibirsk

We consider non-commutative rings with identity elements and homomorphisms of rings which preserve identity elements. For a ring  $R$  we denote by  $\text{Inv}(R)$  the set of all invertible matrices over  $R$ . We say that a homomorphism  $R \xrightarrow{f} S$  inverts a set  $\Sigma$  of matrices over  $R$  if  $f(\Sigma) \subseteq \text{Inv}(S)$ . A homomorphism  $f$  is called a  $\Sigma$ -localization if  $f$  inverts  $\Sigma$  and for any other  $\Sigma$ -inverting  $R \xrightarrow{g} S'$  there exists a unique  $h: S \rightarrow S'$  such that the diagram  $\begin{array}{ccc} R & \xrightarrow{f} & S \\ & \downarrow h & \\ & \xrightarrow{g} & S' \end{array}$  is commutative.

Two constructions for the localization  $R \xrightarrow{f_\Sigma} R\Sigma^{-1}$  are discussed: one is obtained by generalization of the notion of a fraction, and the other generalizes the construction of a localization as the endomorphism ring of some direct limit module. The second one is reduced to a construction of the reflector  $R\text{-Mod} \rightarrow \mathbb{Z}^\perp$  from the category of left  $R$ -modules to the right perpendicular category  $\mathbb{Z}^\perp$ , where  $\mathbb{Z}$  is an arbitrary set of torsion  $R$ -modules.

As an application a counterexample to the following D. Lazard's conjecture is presented.

Lazard's Conjecture: If  $P$  is a projective module over a ring  $R$  such that  $\bar{P} = P/J(R)P$  is finitely generated over  $\bar{R} = R/J(R)$  then  $P$  is finitely generated.

Our counterexample is the localization ring  $R = K\Sigma^{-1}$  where  $K = \mathbb{k}\langle x, y \mid yx = 0 \rangle$  and  $\Sigma$  consists of all matrices over  $K$  that become invertible under the homomorphism  $K \rightarrow \mathbb{k} \times \mathbb{k}$ ,  $x \mapsto (1, 0)$ ,  $y \mapsto (0, 1)$ . Our  $P$  is the module generated by the rows of the idempotent matrix

$$\pi_1 = \begin{pmatrix} w_1 & w_1(1-w_1) & 0 & 0 & \dots \\ w_2 & w_2(1-w_1) & w_2(1-w_2) & 0 & \dots \\ w_3 & w_3(1-w_1) & w_3(1-w_2) & w_3(1-w_3) & \dots \\ w_4 & w_4(1-w_1) & w_4(1-w_2) & w_4(1-w_3) & \dots \\ \vdots & \vdots & \vdots & \vdots & \ddots \end{pmatrix} \quad \text{where } w_n = (x+y)^n y(x+y)^{-n-1}.$$

ME

11.11.94 Hyperbolische Mannigfaltigkeiten mit großen Isometriegruppen

B. Zimmermann, Triest

Die maximale Ordnung einer Gruppe von Isometrien (konformer Autom.) einer hyperbol. oder Riemannschen Fläche vom Geschlecht  $g \geq 1$  ist  $84(g-1)$  („Hurwitz-Operationen“), als Folge der Formel von Riemann-Hurwitz, die zusammen mit der Theorie der Fuchs'schen Gruppen die Grundlage aller Arbeiten über endl. Gruppenoperationen auf Flächen ist. Eine entsprechende Theorie für 3-dim. Hakenkörper entwickelt (McGillivray-Müller-Zimmermann): z.B. ist hier die maximale Ordnung einer endl. Gruppenoperation  $12(g-1)$ . Für geschlossene 3-Mannigfaltigkeiten gibt es nichts entsprechendes. Doch kann man obige Theorie für endl. Gruppenoperationen auf Hakenkörpern verwenden, um über Äquivariante Sogard-Zerlegungen eine Hierarchie für endl. Gruppenoperationen auf 3-Mfld. zu erhalten. Wir beschreiben und studieren die gescll. 3-Mfld., die zu maximaler Fall auftreten (d.h. M besitzt eine endliche Gruppe G von Isometri. der Ordnung  $12(g-1)$  und eine Sogard-Zerlegung vom Geschlecht  $g \geq 1$  invariant unter G). Abgesehen von einigen Ausnahmen handelt es sich um hyperbol. 3-Mfld. (und G operiert als Gruppe von Isometri.).

Für Hurwitz-Operationen G der Ordnung  $84(g-1)$  auf einer hyp. Fläche vom Geschlecht  $g \geq 1$  betrachten wir folgendes Problem: existiert eine hyp. hyp. 3-Mfld. M, mit  $\partial M = F_g$  (total geodät. Rand), so daß G erweitert zu einer Gruppe von Isometrien von M? Wir geben Lösungen für Hurwitz-Operationen vom Typ  $PSL(2, q)$ .

B. Zimmermann

18. M. 1994 Geodesics in Transitive graphs  
W. Imrich, Leoben

The main topic of this talk are Euclidean and non-Euclidean vertex transitive tessellations of the plane, i.e. transitive, locally finite graphs that are embedded into the plane with finite faces and without accumulation points. These graphs are one-ended in the sense that no finite subset separates them into two or more infinite components. Beginning with the observation that every geodesic, i.e. two-sided infinite geodesic path separates such a graph into two infinite components, the question is investigated whether every one-ended, locally finite vertex transitive graph which is separated by every geodesic into two infinite components must be planar. For the case of edge-transitive graphs, cubic graphs and graphs of polynomial growth the answer is shown to be affirmative. The general problem, however, is still open.

Defining a quasi-geodesic as a path  $\{ \dots x_{-1}, x_0, x_1, x_2, \dots \}$  in a graph  $G$  with  $\liminf d_G(x_i, x_j) / |i-j| > 0$  one obtains a larger class of infinite paths with the above separation property in planar graphs. It is then possible to prove that every one-ended, locally finite graph with vertex transitive or almost transitive automorphism group and the additional property of almost 4-connectivity  $\Rightarrow$  planar iff every quasi-geodesic bisects it into two infinite components (and, maybe, some finites ones). The proof strongly uses results of C. Thomassen (1982), who also introduced the concept of almost 4-connectedness.

Most of the results presented are joint work with P. Bonnington (Auckland), M.E. Watkins (Syracuse, N.Y.) and N. Seifter (Leoben).

W. Imrich

## 2.12.94 Faktorisierung großer Zahlen

Ich beschreibe den Stand der Forschung auf dem Gebiet der Faktorisierung großer Zahlen. Nach einem Überblick, in dem ich auch kurz auf kryptographische Anwendungen eingehe, behandle ich insbesondere den Algorithmus "Number field sieve". Ich erkläre seine Theorie und schildere experimentelle Untersuchungen.

Johannes Budmann  
Saarbrücken.

## 10.12.94 Crystallography in evolution

During the last twenty years, the experimental evidence of the existence in nature of new types of crystal structures like incommensurately modulated, intergrowth crystals and quasicrystals, profoundly modified the views about the very basic concepts of what is a crystal and which are the crystallographic symmetries of an ideal crystal structure.

Crystals need not to be lattice-periodic, so that one currently speaks of "aperiodic crystals" example of which are the incommensurate crystals. It is clear that the association of the two words "aperiodic" and "crystal" implies implicit relations with mutual restrictions and extensions.

The unifying elements become apparent through treatments which, at first, seem to be contradictory with the geometry of the crystal structures involved. Examples are the description of aperiodic crystals

in terms of lattice-periodic structures (going beyond 3-dimensionality), the investigation of scaling symmetry in quasicrystals by means of a  $\mathbb{Z}$ -module of translations generating a dense set of translationally equivalent positions (going beyond discreteness) and finally the characterization of Euclidean properties of normal crystals through non-Euclidean symmetries (going beyond Euclidean metric). These changing approaches do not modify, however, the fundamental nature of crystals to be 3-dimensional, discrete, Euclidean. They only allow to make explicit, implicit symmetry groups like the super-space groups (unifying the crystallography of incommensurate and of commensurate crystals) and the multi-metrical space groups (unifying the possible symmetries of quasicrystals and of normal crystals).

Therefore, despite the different crystallographic descriptions of 3-dimensional crystal involving various dimensions, discrete as well as dense set of symmetry-equivalent points with respect to Euclidean and pseudo-Euclidean groups of transformations there is a first evidence of the existence of general crystallographic laws allowing to recover the concept of what is a crystal.

Alessio Janner